

M 系列の L-tuple の weight distribution の偏りについて

計量研究所 栗田良春

(Y. KURITA)

§ 1 はじめに

擬似一様乱数の生成法として現在用いられている手法は、合同式法と M 系列法の 2 種に大別できる。この合同式法は、D. H. Lehmer (1949) によって提案され、その後 20 年間、Coveyou-MacPherson (1967), Marsaglia (1968) 等によってその本質的な規則性: 「結晶構造をもつこと」が指摘される頃まで、殆んど唯一の方法であった。この頃、Tausworthe (1966) により M 系列を用いる方法が提唱され、その発生能率を改善する方法が Lewis-Payne (1972) によって示された。合同式法についてはその欠陥の指摘、M 系列法については初期値を予め用意しておけば合同式法に劣らない速さで発生できる方法の提示等の条件が重なって、後者の方法は TLP (Tausworthe-Lewis-Payne) 列と名付けられ、広く用いられるようになった(と思われる)。

筆者は、これら種々の擬似乱数について統計的検定の実験

を試みるうち、一様性の分布に関して T L P 列が異常な振舞いをしてしばしば示すことを見い出し、その原因が M 系列の部分列における 0 と 1 の個数の分布の偏りにあることをつまとめた。この偏りは、現在までの実験では次数が数百までの 3 項原始多項式による M 系列では、統計的検定によるまでもないほど殆んど常に、同じ傾向をもつ偏りであり、一言でいえば「0 の個数の多すぎる部分列があり、1 についてはそうではない」と要約される。本報告はこの実験結果の一部を示すもので前半で $[0, 1]$ 一様乱数としての T L P 列の偏りを、後半でその由来である 2 値 (0, 1) 系列としての M 系列の部分列の重みの偏りについて述べる。

§ 2 T L P 列の一様性についての Kolmogorov-Smirnov 検定 (K S test)

ある確率変数 X の分布関数 $F(x)$ と予め与えられた連続な分布関数 $F_0(x)$ との適合度を検定する手法のひとつに標記: K S test がある。これは、分布の型によらない、いわゆるノンパラメトリックな検定法で、具体的にはまず、 X からの n 個のサンプルから標本分布関数を作る、すなわち、昇順に並べたサンプル: $x_{r_1}, x_{r_2}, \dots, x_{r_n}$ に対して、

$$F_n(x) = \begin{cases} 0 & : x < x_{r_1} \\ j/n & : x_{r_j} \leq x < x_{r_{j+1}}; j=1, 2, \dots, n-1 \\ 1 & : x_{r_n} \leq x \end{cases}$$

この $F_n(x)$ と $F_0(x)$ の差を次の 2 量 K_n^+ , K_n^- で測る:

$$K_n^\pm = \sqrt{n} \max \{ \pm F_n(x) \mp F_0(x) \}$$

この統計量 K_n^\pm は共に次の分布関数に従う:

$$\Pr(K_n^\pm \leq t/\sqrt{n}) = \frac{t}{n^n} \sum_{k=0}^{\lfloor t \rfloor} \binom{n}{k} (k-t)^k (t+n-k)^{n-k-1} \quad (1).$$

(ここに, $\Pr(\cdot)$ は事象 \cdot の起る確率)。

以上が KS test の概要である。

さて, $[0, 1]$ - 様分布が期待される列 x_1, x_2, \dots から L -tuple を順次 N 個とり出す, すなわち, i 番目 ($1 \leq i \leq N$) の L -tuple とは $\{x_{(i-1)L+1}, x_{(i-1)L+2}, \dots, x_{iL}\}$ のことである。(尚, L, N は以下この意味で用いる)

この L -tuple に対して F_0 を一様分布として上述の KS test を適用し, それぞれ N 個の K_L^+, K_L^- を得る。この N 個の K_L^+ は (1) 式の分布に従うことが期待されるから, これを F_0 として再び KS test を行い K_N^+, K_N^- を得る。 K_L^- についても同様である。こうしていわば 2 重の KS test によって 2 組の (K_N^+, K_N^-) から列 $\{x_i\}$ の一様性の検定ができる。

さて、3項原始多項式：

$$X^p + X^q + 1 \quad (2)$$

(p, q は以下この意味で用いる)，による TLP 列の生成法は Lew., Pay. [72] に具体的に手続きが示されており，そこで提示されている一例： $p=98, q=27$ に対して上述の KS test を適用した結果、いくつかの L で非常に大きな分布の偏りが検出された。その一例を Fig. 1 (a), (b) に示す*。

これは $L=513, N=512$ の場合の 2 役目の KS test の結果すなわち K_L^\pm の実測分布を (1) 式による F_0 と併せて plot したものである。この図から N 個の L -tuple の中には一様分布から大きく偏った分布をもつものがあり、更にこの図示例に限らず、偏りはいつもこの傾向をもつことから、すなわち、 K_L^+ の実測分布は常に F_0 を下まわり、 K_L^- のそれは逆であることから、非常に小さい平均値をもつ L -tuple があることが判る。実際、この列を調べてみると、363番目の L -tuple は $K_L^+ = 2.84$ (図の scale out 右端に相当) であって、平均

*) この図中、(c), (d) は合同式法 $x_n = (2^{16}+3)x_{n-1} \pmod{2^{31}}$ による列の検定結果で、 $x_1=1$ として x_{100} からの列を使ったものであり、比較のために示した。尚、このパラメタは前述の結晶構造の点からは極めて性質が悪く、一般の使用には耐えない。

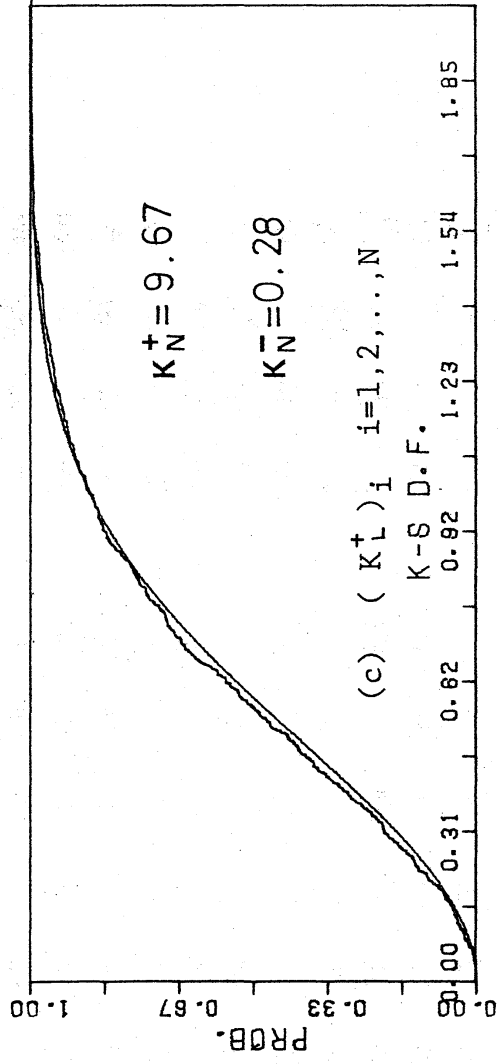
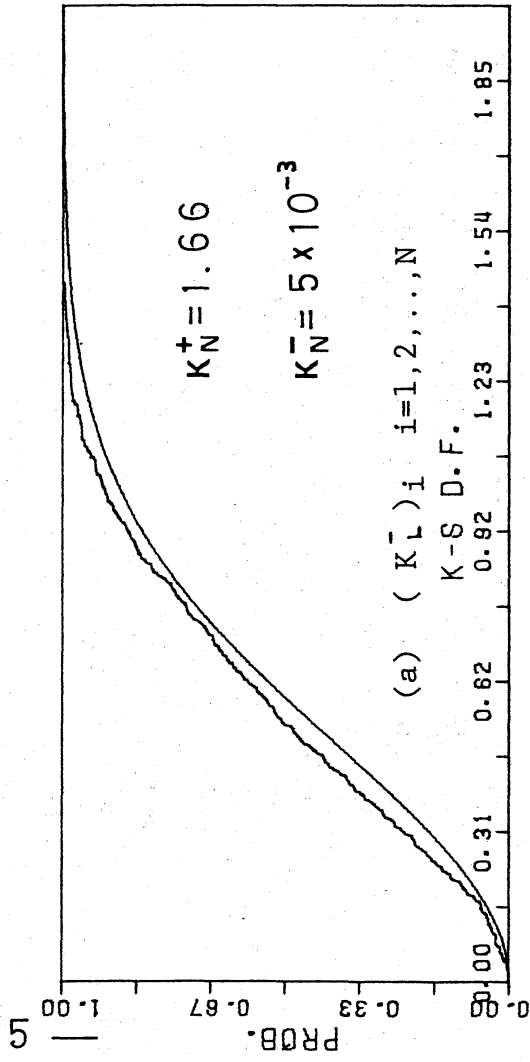
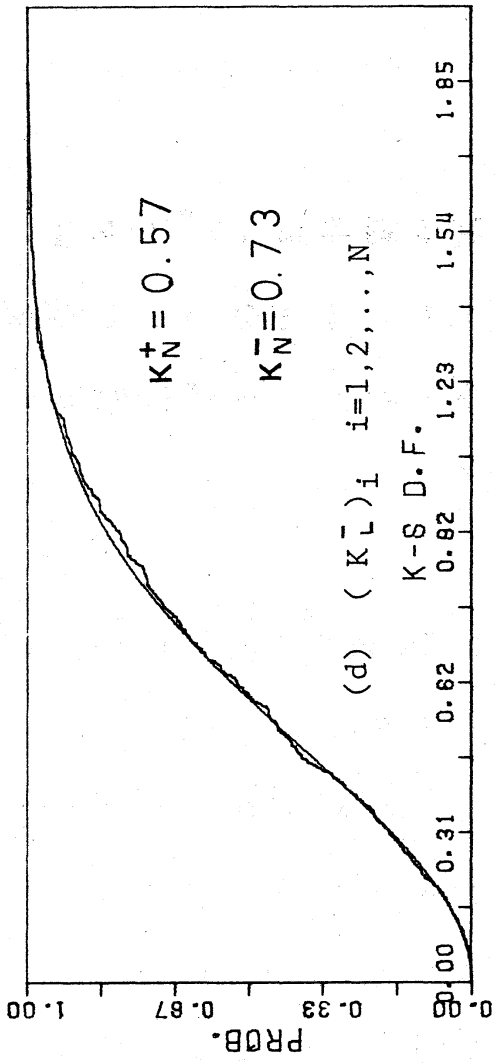
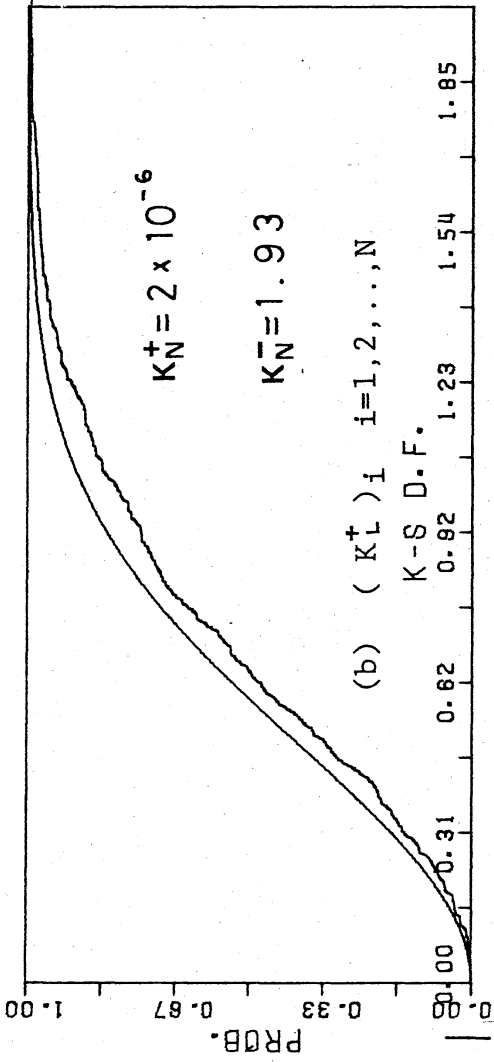


Fig.1 Observed distribution of KS-statistics (L=513,N=512)

(a), (b): TLP($X^{98} + X^{27} + 1$)

(c), (d): Congruential method ($X_n = (2^{16} + 3) \cdot X_{n-1} \pmod{2^{31}}$)

値は 0.435 であり、この事象の起る確率は 10^{-7} である。勿論、 10^{-7} で起る現象を偶々観測したにすぎないとも解釈できるが、次節の結果からは 3 項 M 系列のもつ一般的性質に由来すると考える方が妥当と思われる。

§ 3 「異常に軽い weight をもつ L-tuple が M 系列にある」

前節で扱った $[0, 1]$ 一様乱数としての TLP 列 x_1, x_2, \dots の引続いた要素 x_i, x_{i+1} の MSB は (2) 式に従う 0, 1 を要素とする M 系列 a_1, a_2, \dots の引続いた要素 a_i, a_{i+1} である。従って、前節の結果：「異常に平均値の低い L-tuple がある」とはそのもとになる M 系列についていえば、「0 が異常に多い L-tuple がある」ことである。M 系列の L-tuple ($L=513$) では平均として $L/2 = 256.5$ 個の 0 が期待されるが、前述 363 番目の L-tuple の MSB を作る M 系列の L-tuple には 320 個の 0 が観測される。

この現象は、種々の原始多項式 (2) による M 系列でも見ることが出来る。まず、(0, 1) 2 値系列の L-tuple の中の 1 の個数を weight; $w(L)$ と呼ぶことにすると、M 系列が乱数の実現として有効であるためには $w(L)$ が 2 項分布に従うことが必要である：

$$\Pr(w(L)=k) = \binom{L}{k} (1/2)^L \quad (3).$$

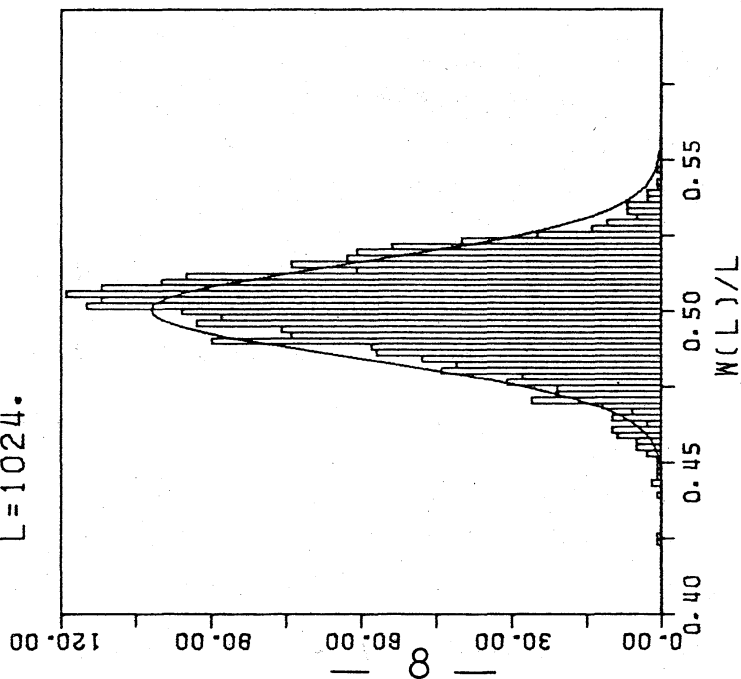
そこで、 $28 \leq p \leq 1279$ の範囲の17種の3項原始多項式、いくつかのL, Nの組合せ ($L \cdot N = 2^{21} \sim 2^{23}$)、数通りの初期値のパターンについて組合せ計250例について、期待分布(3)と実測頻度とのずれ、及び実測頻度の3次モーメント M_3 の値を調べた。(初期パターンは、 $x_n = (2^{16} + 3) \cdot x_{n-1} \pmod{2^{31}}$, $x_1 = 1$ として $x_{I+1}, x_{I+2}, \dots, x_{I+p}$ のMSBから与えた)。そのうちの3例を Fig. 2 に示す。いずれも、縦軸は頻度、横軸はLで規格化した重み: $w(L)/L$ 、滑らかな曲線が(3)式による期待値、柱状図が実測ヒストグラムである。この図からも読みとれるが、観測した実測分布の殆んどは2項分布に比べて一般的に、「左の尾が長く、左肩は痩せ、右肩は太り、右尾はない」形をもち、 $M_3 < 0$ である*。

実際、 $p \leq 127$ については殆んどいつでも(9)の値、初期パターンに拘らず)、 $p \geq 521$ についてはいくつかの場合、この形をもつ。

*) すなわち、これは本節の標題に示した「軽すぎる weight をもつ L-tuple」があり、重すぎる L-tuple はないことを示しており、(勿論、1周期の中の0の個数と1の個数の差は1にすぎないから)、生じたアンバランスは分布の左右の肩で相殺されている。

N=2048.

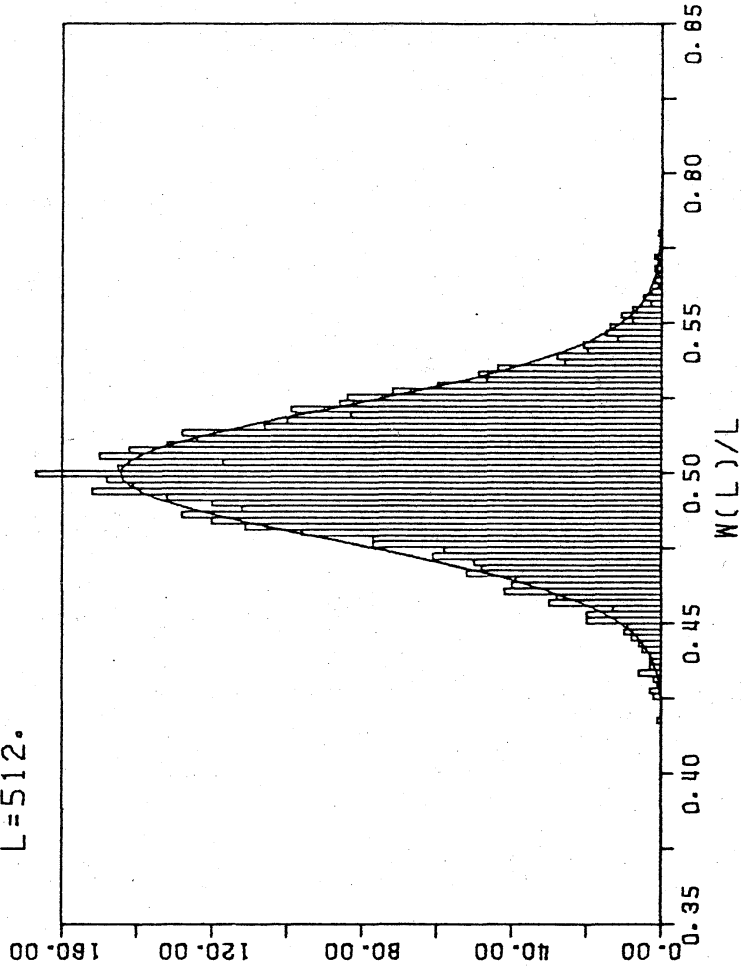
L=1024.



(a) $X^{**} 89 + X^{**} 38 + 1$
 $I=100, M_3 = -2302$

N=4096.

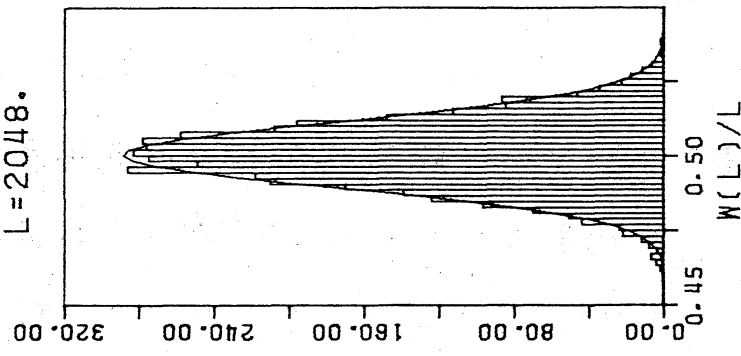
L=512.



(b) $X^{**} 1279 + X^{**} 216 + 1$
 $I=2700, M_3 = -143$

N=4096.

L=2048.



(c) $X^{**} 607 + X^{**} 273 + 1$
 $I=100, M_3 = -1247$

Fig. 2. Empirical weight distribution of $(L\text{-tuple})_i ; i=1,2,\dots,N$

さて, A_n の weight を $w(A_n)$ とすると, $w(A_n)$ と $w(A_{n-p})$ とは, 乱数の実現という意味では独立であることが望ましいが, 前節までの結果からはかなり強い相関をもつことが予想される. その理論的解析は(4)からできる筈であるが, それは別報に譲り, ここでは以下, その実験結果について述べる.

まず, M 系列の 1 周期を考える. その中には p ビットのすべてのパターンが(すべてがゼロのパターンを除いて)一度ずつ現われ, その総数は $2^p - 1$ である. これらのうち, その weight が i であるパターンの数は pC_i である, ($1 \leq i \leq p$).

次に, $i = w(A_{n-p})$, $j = w(A_n)$ であるような A_n , ($p+1 \leq n \leq 2^p + p - 1$) の総数を h_{ij} とすると $H = (h_{ij})$ が weight の推移行列となり, その第 i 行の和, 第 j 行の和はそれぞれ pC_i , pC_j であり, $w(A_{n-p})$ と $w(A_n)$ とが独立であると仮定すれば, h_{ij} の期待値: $h_{ij}^{(EX)}$ は

$$h_{ij}^{(EX)} = \frac{pC_i \cdot pC_j}{2^p - 1} \quad (5)$$

とかける. この期待値は, すぐに判るように, $i=j=p/2$ で最大値をとり, この点を中心として回転対称な分布である.

ここで, $p=15$, $q=4$ の場合の期待分布(5)を Table.1 に, その実測分布 $h_{ij}^{(EM)}$ を Table.2 に示す.

$i \rightarrow j$	1	2	3	4	5	6	7	8	9	10	11	12	13	14	15
1*	.0	.0	.2	.6	1.4	2.3	2.9	2.9	2.3	1.4	.6	.2	.0	.0	.0
2*	.0	.3	1.5	4.4	9.6	16.0	20.6	20.6	16.0	9.6	4.4	1.5	.3	.0	.0
3*	.2	1.5	6.3	19.0	41.7	69.5	89.4	89.4	69.5	41.7	19.0	6.3	1.5	.2	.0
4*	.6	4.4	19.0	56.9	125.1	208.5	268.1	268.1	208.5	125.1	56.9	19.0	4.4	.6	.0
5*	1.4	9.6	41.7	125.1	275.2	458.7	589.7	589.7	458.7	275.2	125.1	41.7	9.6	1.4	.1
6*	2.3	16.0	69.5	208.5	458.7	764.5	982.9	982.9	764.5	458.7	208.5	69.5	16.0	2.3	.2
7*	2.9	20.6	89.4	268.1	589.7	982.9	1263.7	1263.7	982.9	589.7	268.1	89.4	20.6	2.9	.2
8*	2.9	20.6	89.4	268.1	589.7	982.9	1263.7	1263.7	982.9	589.7	268.1	89.4	20.6	2.9	.2
9*	2.3	16.0	69.5	208.5	458.7	764.5	982.9	982.9	764.5	458.7	208.5	69.5	16.0	2.3	.2
10*	1.4	9.6	41.7	125.1	275.2	458.7	589.7	589.7	458.7	275.2	125.1	41.7	9.6	1.4	.1
11*	.6	4.4	19.0	56.9	125.1	208.5	268.1	268.1	208.5	125.1	56.9	19.0	4.4	.6	.0
12*	.2	1.5	6.3	19.0	41.7	69.5	89.4	89.4	69.5	41.7	19.0	6.3	1.5	.2	.0
13*	.0	.3	1.5	4.4	9.6	16.0	20.6	20.6	16.0	9.6	4.4	1.5	.3	.0	.0
14*	.0	.0	.2	.6	1.4	2.3	2.9	2.9	2.3	1.4	.6	.2	.0	.0	.0
15*	.0	.0	.0	.0	.1	.2	.2	.2	.2	.1	.0	.0	.0	.0	.0

Table 1. 15-tuple weight transition matrix (expected value)

$$X^{**} 15 + X^{**} 4 + 1$$

$i \rightarrow j$	1	2	3	4	5	6	7	8	9	10	11	12	13	14	15
1*	0	11	4	0	0	0	0	0	0	0	0	0	0	0	0
2*	4	7	8	48	32	6	0	0	0	0	0	0	0	0	0
3*	4	3	47	70	74	127	95	31	4	0	0	0	0	0	0
4*	4	7	62	81	232	289	248	231	148	52	10	1	0	0	0
5*	3	16	58	128	349	463	611	577	393	242	121	37	5	0	0
6*	0	21	52	202	386	662	964	968	808	529	264	110	34	5	0
7*	0	21	42	229	412	844	1155	1254	1128	763	390	148	40	8	1
8*	0	13	48	206	426	854	1180	1345	1136	731	356	116	22	2	0
9*	0	5	53	145	416	738	1008	1092	848	478	179	39	4	0	0
10*	0	1	46	96	332	540	704	644	416	178	42	4	0	0	0
11*	0	0	26	72	210	317	353	243	112	29	3	0	0	0	0
12*	0	0	8	52	100	131	104	47	12	1	0	0	0	0	0
13*	0	0	1	27	30	31	13	3	0	0	0	0	0	0	0
14*	0	0	0	8	4	3	0	0	0	0	0	0	0	0	0
15*	0	0	0	1	0	0	0	0	0	0	0	0	0	0	0

Table 2. 15-tuple weight transition matrix (empirical value)

X ** 15 + X ** 4 + I

この Table 1, 2 から, たとえば weight が 3 である p -tuple の直後の p -tuple の weight が 4 である場合の頻度は 19 回期待されるが, 実際には 70 回起り, 実測値は 51 だけ正の方に偏っていることが判る. このような偏り, ($h_{ij}^{(EM)} - h_{ij}^{(EX)}$) をすべての i, j について示したものが, Table 3 である. ここでは, 実測分布の期待値からの偏りの 3 次元起伏を多少とも視覚的に見るために, 偏りが 10 以上^の (実測値が期待値を大きく超えている) 点は太線の枠で囲み, 偏りの絶対値が 10 未満である所は四角で囲むことにする.

ここから読取れる特長について述べる前に, 引続いて p を実用的な大きさに拡張した場合の偏りについて示す.

この場合には, 1 周期 ($2^p - 1$) の中からいくつかの部分列を無作為にとり出し, 推移行列 H を作る. 具体的には, この系列の生成のためには p ビットの初期値が必要であるが, 合同乗算型生成法による乱数からの 0, 1 をこれに充て, そこから出発して 10^4 個の p -tuple を収集する. 次に初期値からの従属を避けるために, この初期値を更新し再び 10^4 個の p -tuple を集める, この過程を 100 回繰返し, 計 $10^4 \times 10^2$ 個の p -tuple の推移を $h_{ij}^{(EM)}$ として蓄積する.

このようにして, $p = 89$, $q = 38$ の場合について, 期待値からの偏り ($h_{ij}^{(EM)} - h_{ij}^{(EX)}$) を濃淡図として表わしたものが

$i \rightarrow j$	1	2	3	4	5	6	7	8	9	10	11	12	13	14	15
1*	-0.0	11.0	3.8	-0.6	-1.4	-2.3	-2.9	-2.9	-2.3	-1.4	-0.6	-0.2	-0.0	-0.0	-0.0
2*	4.0	6.7	6.5	43.6	22.4	-10.0	-20.6	-20.6	-16.0	-9.6	-4.4	-1.5	-0.3	-0.0	-0.0
3*	3.8	1.5	40.7	51.0	32.3	57.5	5.6	-58.4	-65.5	-41.7	-19.0	-6.3	-1.5	-0.2	-0.0
4*	3.4	2.6	43.0	24.1	106.9	80.5	-20.1	-37.1	-60.5	-73.1	-46.9	-18.0	-4.4	-0.6	-0.0
5*	1.6	6.4	16.3	2.9	73.8	4.3	21.3	-12.7	-65.7	-33.2	-4.1	-4.7	-4.6	-1.4	-0.1
6*	-2.3	5.0	-17.5	-6.5	-72.7	-102.5	-18.9	-14.9	43.5	70.3	55.5	40.5	18.0	2.7	-0.2
7*	-2.9	.4	-47.4	-39.1	-177.7	-138.9	-108.7	-9.7	145.1	173.3	121.9	58.6	19.4	5.1	.8
8*	-2.9	-7.6	-41.4	-62.1	-163.7	-128.9	-83.7	81.3	153.1	141.3	87.9	26.6	1.4	-0.9	-0.2
9*	-2.3	-11.0	-16.5	-63.5	-42.7	-26.5	25.1	109.1	83.5	19.3	-29.5	-30.5	-12.0	-2.3	-0.2
10*	-1.4	-8.6	4.3	-29.1	56.8	81.3	114.3	54.3	-42.7	-97.2	-83.1	-37.7	-9.6	-1.4	-0.1
11*	-0.6	-4.4	7.0	15.1	84.9	108.5	84.9	-25.1	-96.5	-96.1	-53.9	-19.0	-4.4	-0.6	-0.0
12*	-0.2	-1.5	1.7	33.0	58.3	61.5	14.6	-42.4	-57.5	-40.7	-19.0	-6.3	-1.5	-0.2	-0.0
13*	-0.0	-0.3	-0.5	22.6	20.4	15.0	-7.6	-17.6	-16.0	-9.6	-4.4	-1.5	-0.3	-0.0	-0.0
14*	-0.0	-0.0	-0.2	7.4	2.6	.7	-2.9	-2.9	-2.3	-1.4	-0.6	-0.2	-0.0	-0.0	-0.0
15*	-0.0	-0.0	-0.0	1.0	-0.1	-0.2	-0.2	-0.2	-0.2	-0.1	-0.0	-0.0	-0.0	-0.0	-0.0

Table 3. 15-tuple weight transition matrix (empiric.- expect.)

X ** 15 + X ** 4 + 1

Fig.3である。この濃淡図は、偏りの最大値から最小値までを10等分し、それに10段階の濃淡を割当てることにより各点の偏りを表示している。(図中のTEST BAR 参照)。

第5階調である一様な灰色で周辺部が覆われているが、これは最も偏りの少ない平野部であり、それより高い所は濃く、逆に低い(実測値が期待値に満たない所)は白色に近くなる。縦軸は i 、横軸は j であり、 $23 \leq i, j \leq 65$ の範囲が示されているが、これはそれ以外の領域では $h_{ij}^{EM} = 0$ であったことを意味する。

さて、Table 3の $p=15, q=4$ の場合の偏りのパターンと Fig.3の $p=89, q=38$ のそれと比較してみると、その「島構造」は全く同じであることが判る。この共通した島構造から次のような性質を抽出することができる。尚、[...]はその直前の記述を補うためのもので、Fig.3の場合の具体例を示す。

- (i) $w(A_{n-p}) < P/2$, $[34 \leq w(A_{n-p}) \leq 40]$ であれば、
 $w(A_n)$ も同じ範囲の値をとることが多く、 $P/2$ を超えることは少ない。従って、このような A_{n-p}, A_n の組によって非常に小さな weight をもつ $(2p)$ -tuple が多く現われる。更に、この場合 A_{n+p} 以下もここに入り、loop を作る可能性もある。もしこの loop を作ると

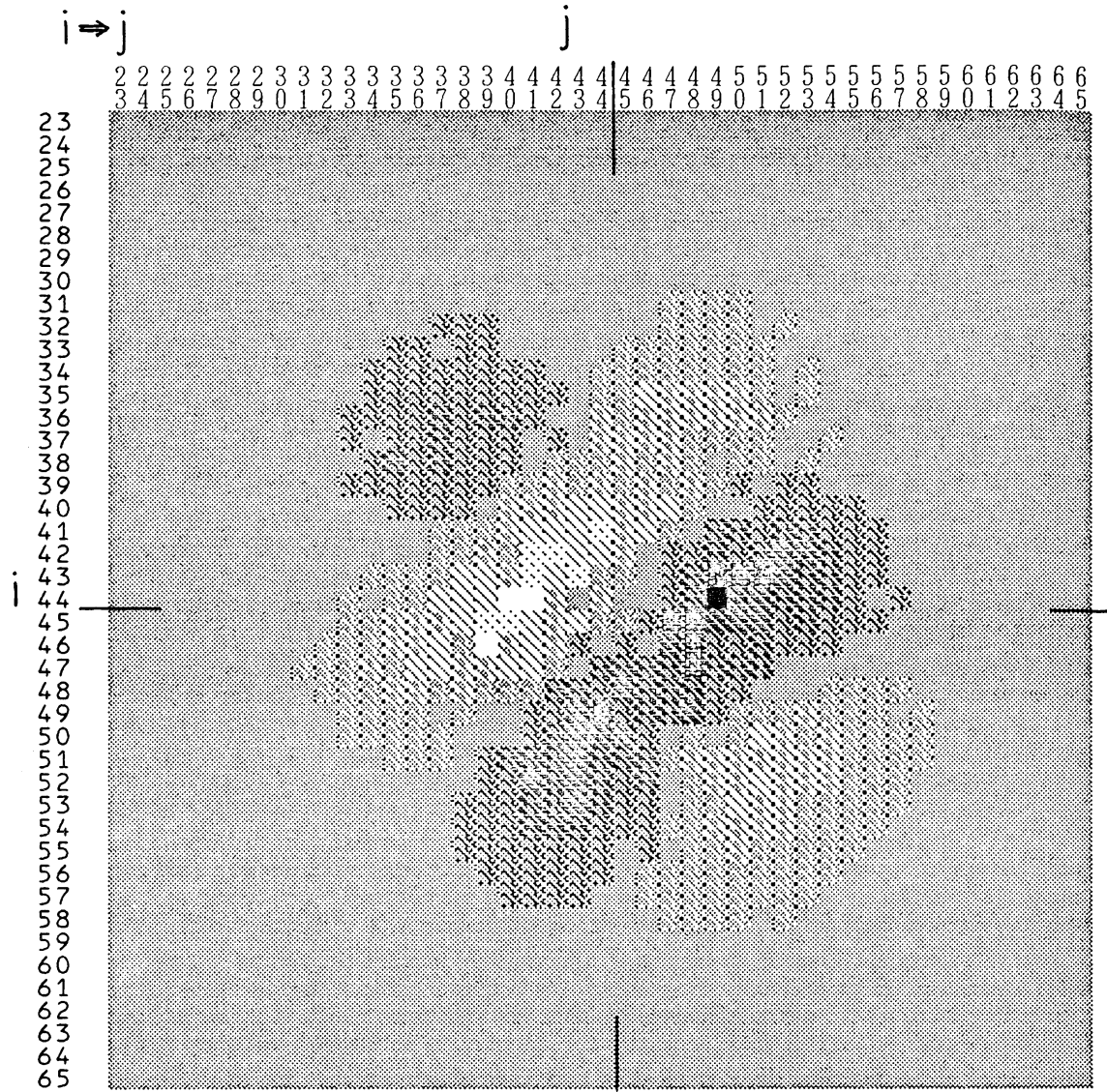


Figure 3. 89-tuple weight transition pattern (empiric.- expect.)

$$X^{**} 89 + X^{**} 38 + 1$$

TEST BAR.. 0 1 2 3 4 5 6 7 8 9 10

すれば, $(3p)$ -tuple 以上で異常に軽い weight をもった部分列が出現するだろう.

(ii) $w(A_{n-p})$ が $P/2$ に等しいか僅か下まわる範囲 $[40 \leq w(A_{n-p}) \leq 46]$ では $w(A_n)$ が $P/2$ を超えることが多い. 従って, このような A_{n-p}, A_n の組による $(2p)$ -tuple は p よりも少し大きい weight をもつことが多い.

(iii) $w(A_{n-p}) > P/2$ $[47 \leq w(A_{n-p}) \leq 57]$ であれば, $w(A_n) \leq P/2$ $[38 \leq w(A_n) \leq 46]$ となることが多い. これは相殺される方向であり, $w(A_n) > P/2$ となることは少ない.

(iv) このパターンは右下り対角線についてはほぼ対称である. このことは M 系列を逆向きに発生させても, (2)式についていえば相反の原始多項式によっても, 偏りの傾向が不変であることを示す. 従って, (4)式の \mathbb{I} については $p > 2q$ の形を考えれば充分である.

以上がこの偏りのパターンから読みとれる主な特長であって, 前節までの結果とよく一致し, 更により詳細な現象を伝えるものである.

この「島構造」は分布の形から予想されるように, p が大きくなるに従って不明瞭になる傾向をもつが, $p=521; 607$ についてはその輪郭が多少済み偏りがランダムになる程度で

保存される。実用上の限界と考えられる $p=1279$ については、更に不明瞭となるが、まだ構造は保存されていることが認められる。

また、この偏りの振幅の、期待値の最大値に対する割合、($p=15, q=4$ についていえば、Table 3 の最大値と最小値の差: $173.3 - (-177.7) = 351$ の Table 1 の最大値: 1263.7 に対する比: 28%) は $89 \leq p \leq 1279$ では $12 \sim 19\%$ であり、特に p と q の値との関連は認め難い。むしろ、偏りの大きさも問題ではあるが、いつも同じ傾向に偏りをもつ、するわち規則性をもつことが重大である。

§5 おわりに

3項原始多項式に従う M 系列の部分列には 0 と 1 の偏りが見られることの実験結果を報告した。

$GF(2)$ の上の加算演算は 0 と 1 を平均的に平等に出力する。更に 1 周期については 0 の個数は 1 の個数より 1 だけ少ないだけで殆んど完全に均衡がとれている。こうして、いわば両極端では 0 と 1 の出現は対称であることが保証されているので、この実験報告、この両極端の間では対称性が崩れている現象がある、は奇異に思われるが両極端の性質を否定するものではない。

その理論的解析については続報で報告したい。

尚、M系列のL-tupleについて Lin.[68] その3次モーメントが0でなく、 p, q の値によって大きくなりうることを既に示しており、本報告と密接に関連しているが、「M系列のL-tuple では0が異常増殖したものがあり、1についてはそうはならない」という直接的・明確な指摘は筆者の知る限り見当らず、報告する次第である。TLP列を用いる場合には慎重な取扱いが必要と思われる。

文献

- Lew., Pay. (73) Lewis, T.G. and Payne, W.H. "Generalized feedback shift register pseudorandom number algorithm" J.ACM Vol.20(3), (1973), 456-468
- Lin. (68) Lindholm, J.H. "An analysis of the pseudorandomness properties of subsequences of long m-sequences" IEEE Trans. Inform. Theory Vol IT-14, (1968), 569-576